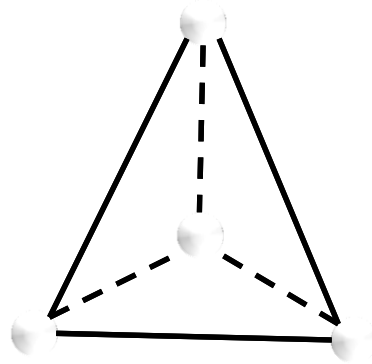


Prof. Dr. Jan Bender
Dynamische Simulation von Mehrkörpersystemen

STARRKÖRPER

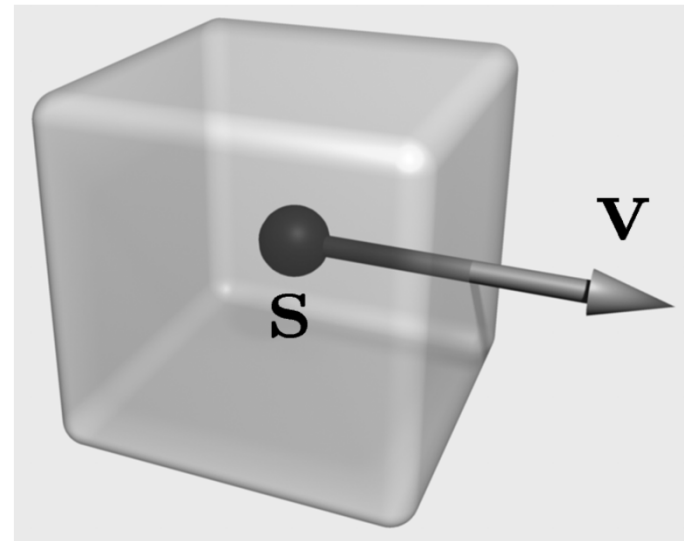
Freiheitsgrade

- ⊙ Ein Partikel hat 3 Freiheitsgrade.
- ⊙ Ein Starrkörper hat im Gegensatz zu einem Partikel eine Ausdehnung und damit eine Rotation. Daher hat ein Starrkörper 3 zusätzliche Freiheitsgrade für die Drehung.
- ⊙ Beispiel:



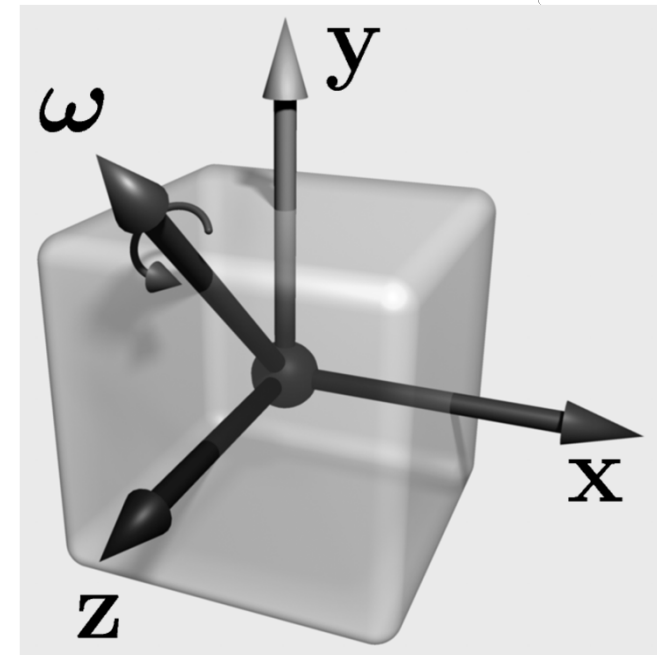
Translation

- ◎ Masse m
- ◎ Schwerpunkt s
- ◎ Geschwindigkeit v



Rotation

- ◎ Trägheitstensor \mathbf{J}
- ◎ Rotation \mathbf{R}
- ◎ Winkelgeschwindigkeit ω



Schwerpunkt

- ⊙ Schwerpunkt von n Massenpunkten

$$\mathbf{s} = \frac{1}{m} \sum_0^n \mathbf{m}_i \mathbf{p}_i, \quad m = \sum_0^n m_i$$

- ⊙ Schwerpunkt bei homogener Massenverteilung

$$\mathbf{s} = \frac{1}{n} \sum_0^n \mathbf{p}_i$$

- ⊙ Schwerpunkt bei kontinuierlicher Massenverteilung

$$\mathbf{s} = \frac{1}{m} \int \rho(\mathbf{r}) \mathbf{r} dV$$

Trägheitstensor

- ◎ Beschreibt die Trägheit des Körpers bezüglich Rotationen

Ein Trägheitstensor $\mathbf{J} \in \mathbb{R}^{3 \times 3}$ beschreibt die Beziehung zwischen der Winkelgeschwindigkeit $\boldsymbol{\omega}$ eines Körpers und seinem Drehimpuls:

$$\mathbf{l} = \mathbf{J} \boldsymbol{\omega}.$$

Trägheitstensor

Sei ein Körper durch n Massenpunkte mit den Massen m_i gegeben und seien weiterhin $\mathbf{r}_i = (x_i \ y_i \ z_i)^T$ die Ortsvektoren der Massenpunkte in einem kartesischen Koordinatensystem, das seinen Ursprung im Schwerpunkt des Körpers hat. Dann berechnet sich der Trägheitstensor wie folgt:

$$\mathbf{J} = \sum_{i=1}^n m_i \begin{pmatrix} y_i^2 + z_i^2 & -x_i y_i & -x_i z_i \\ -y_i x_i & x_i^2 + z_i^2 & -y_i z_i \\ -z_i x_i & -z_i y_i & x_i^2 + y_i^2 \end{pmatrix}.$$

Beispiele

Trägheitstensor einer Kugel mit Radius r

$$\mathbf{J}_{Kugel} = m \cdot \begin{pmatrix} \frac{2}{5}r^2 & 0 & 0 \\ 0 & \frac{2}{5}r^2 & 0 \\ 0 & 0 & \frac{2}{5}r^2 \end{pmatrix}$$

Beispiele

Trägheitstensor eines Zylinders mit Radius r und Länge l

$$\mathbf{J}_{Zylinder} = m \cdot \begin{pmatrix} \frac{r^2}{4} + \frac{l^2}{12} & 0 & 0 \\ 0 & \frac{r^2}{4} + \frac{l^2}{12} & 0 \\ 0 & 0 & \frac{r^2}{2} \end{pmatrix}$$

Beispiele

Trägheitstensor eines Quaders mit Kantenlängen a, b und c

$$\mathbf{J}_{\text{Quader}} = m \cdot \begin{pmatrix} \frac{b^2+c^2}{12} & 0 & 0 \\ 0 & \frac{a^2+c^2}{12} & 0 \\ 0 & 0 & \frac{a^2+b^2}{12} \end{pmatrix}$$

Trägheitstensor

- ⊙ Kann durch eine Hauptachsentransformation in Diagonalform gebracht werden

$$\mathbf{J}_l = \begin{pmatrix} J_x & 0 & 0 \\ 0 & J_y & 0 \\ 0 & 0 & J_z \end{pmatrix} \quad \mathbf{J}_l^{-1} = \begin{pmatrix} \frac{1}{J_x} & 0 & 0 \\ 0 & \frac{1}{J_y} & 0 \\ 0 & 0 & \frac{1}{J_z} \end{pmatrix}$$

- ⊙ Koordinatensystem eines Körpers wird so gewählt, dass Trägheitstensor Diagonalform hat und der Nullpunkt im Schwerpunkt liegt

Trägheitstensor

- ◉ Der Trägheitstensor \mathbf{J}_l ist im lokalen Koordinatensystem des Körpers konstant
- ◉ Die Transformation vom lokalen Koordinatensystem in Weltkoordinaten erfolgt mit Hilfe der aktuellen Rotationsmatrix \mathbf{R}

$$\begin{aligned}\mathbf{J} &= \mathbf{R} \mathbf{J}_l \mathbf{R}^T \\ \mathbf{J}^{-1} &= \mathbf{R} \mathbf{J}_l^{-1} \mathbf{R}^T\end{aligned}$$

Rotationsmatrix

◎ Rotation um x-, y- oder z-Achse

$$\mathbf{R}_x = \begin{pmatrix} 1 & 0 & 0 \\ 0 & \cos \alpha & -\sin \alpha \\ 0 & \sin \alpha & \cos \alpha \end{pmatrix}$$

$$\mathbf{R}_y = \begin{pmatrix} \cos \beta & 0 & \sin \beta \\ 0 & 1 & 0 \\ -\sin \beta & 0 & \cos \beta \end{pmatrix}$$

$$\mathbf{R}_z = \begin{pmatrix} \cos \gamma & -\sin \gamma & 0 \\ \sin \gamma & \cos \gamma & 0 \\ 0 & 0 & 1 \end{pmatrix}$$

Rotationsmatrix

◎ Gesamtrotaion

$$\mathbf{R} = \mathbf{R}_x \cdot \mathbf{R}_y \cdot \mathbf{R}_z =$$

$$\begin{pmatrix} c(\beta)c(\gamma) & -c(\beta)s(\gamma) & s(\beta) \\ s(\alpha)s(\beta)c(\gamma) + c(\alpha)s(\gamma) & c(\alpha)c(\gamma) - s(\alpha)s(\beta)s(\gamma) & -s(\alpha)c(\beta) \\ s(\alpha)s(\gamma) - c(\alpha)s(\beta)c(\gamma) & c(\alpha)s(\beta)s(\gamma) + s(\alpha)c(\gamma) & c(\alpha)c(\beta) \end{pmatrix}$$

Quaternionen

© Sir William Rowan Hamilton 1843

$$\mathbf{q} = (w, x, y, z) = w + xi + yj + zk$$

$$w, x, y, z \in \mathbb{R}$$



Quaternionen

- ⊙ Die Menge der Quaternionen \mathbb{H} bildet einen Schiefkörper

- ⊙ Die konjugierte Quaternion ist

$$\mathbf{q}^* = (w, -x, -y, -z)$$

- ⊙ Eine Quaternion, für die

$$\mathbf{q} \cdot \mathbf{q}^* = \mathbf{q}^* \cdot \mathbf{q} = 1$$

gilt, bezeichnet man als Einheitsquaternion

Rotation mit Quaternionen

- Rotationen können mit Einheitsquaternionen beschrieben werden

$$\mathbf{q} = \left(\cos \frac{\alpha}{2}, \sin \frac{\alpha}{2} \mathbf{x}^T \right)$$

- Ein Punkt \mathbf{a} wird folgendermaßen rotiert

$$(0, \mathbf{a}') = \mathbf{q} (0, \mathbf{a}^T) \mathbf{q}^*$$

Rechenregeln

⊙ Addition

$$\begin{aligned}\mathbf{q}_1 + \mathbf{q}_2 &= (w_1, x_1, y_1, z_1) + (w_2, x_2, y_2, z_2) \\ &= (w_1 + w_2, x_1 + x_2, y_1 + y_2, z_1 + z_2)\end{aligned}$$

⊙ Subtraktion

$$\begin{aligned}\mathbf{q}_1 - \mathbf{q}_2 &= (w_1, x_1, y_1, z_1) - (w_2, x_2, y_2, z_2) \\ &= (w_1 - w_2, x_1 - x_2, y_1 - y_2, z_1 - z_2)\end{aligned}$$

Rechenregeln

© Multiplikation

$$\begin{aligned}\mathbf{q}_1 \cdot \mathbf{q}_2 &= (w_1, x_1, y_1, z_1) \cdot (w_2, x_2, y_2, z_2) \\ &= (w_1w_2 - x_1x_2 - y_1y_2 - z_1z_2, \\ &\quad w_1x_2 + x_1w_2 + y_1z_2 - z_1y_2, \\ &\quad w_1y_2 + y_1w_2 + z_1x_2 - x_1z_2, \\ &\quad w_1z_2 + z_1w_2 + x_1y_2 - y_1x_2)\end{aligned}$$

- Verkettung von Rotationen benötigen 16 Multiplikationen und 12 Additionen (günstiger als Matrixprodukt mit 27 *, 18 +)

Rechenregeln

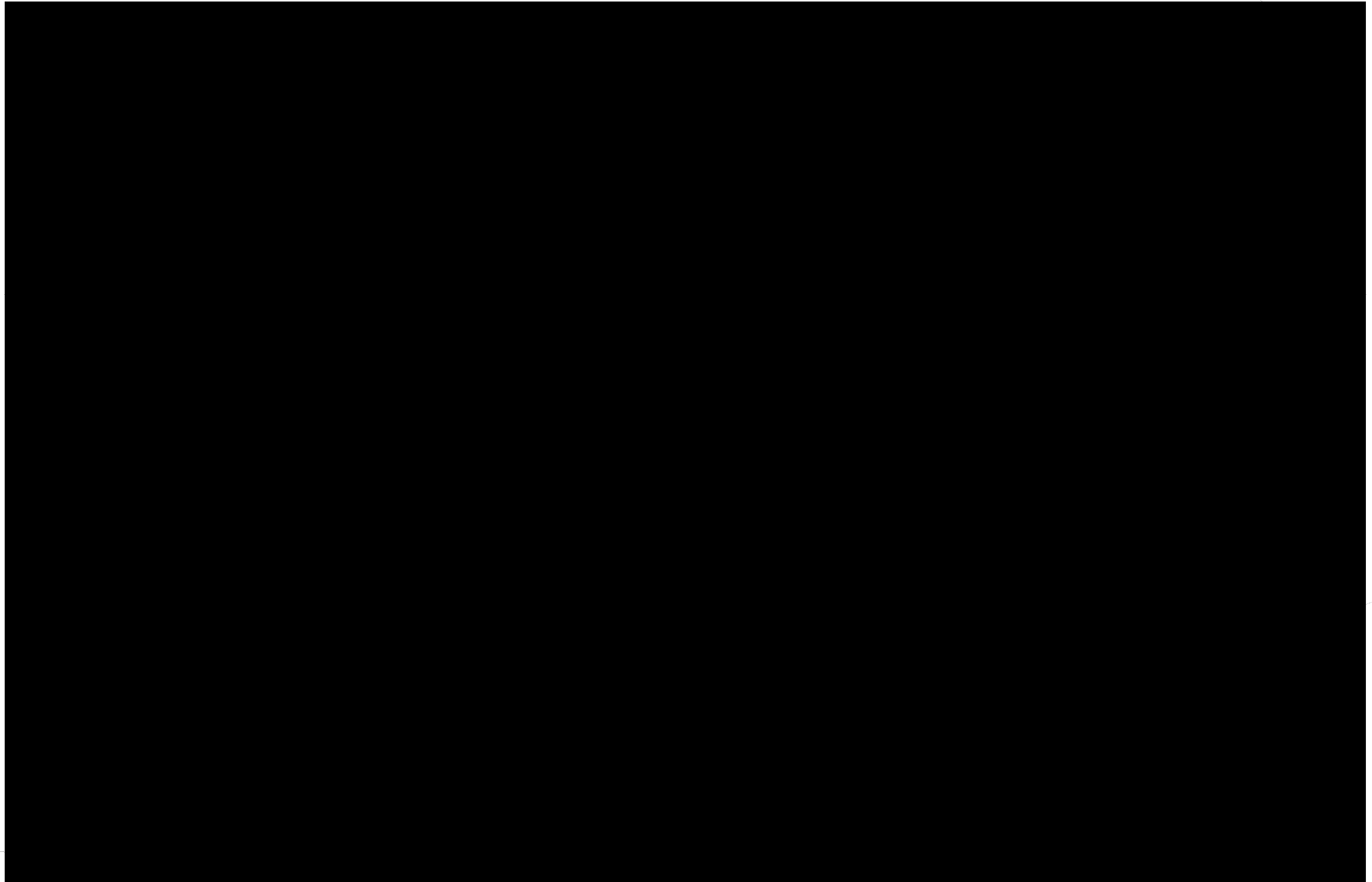
◎ Inverses Element

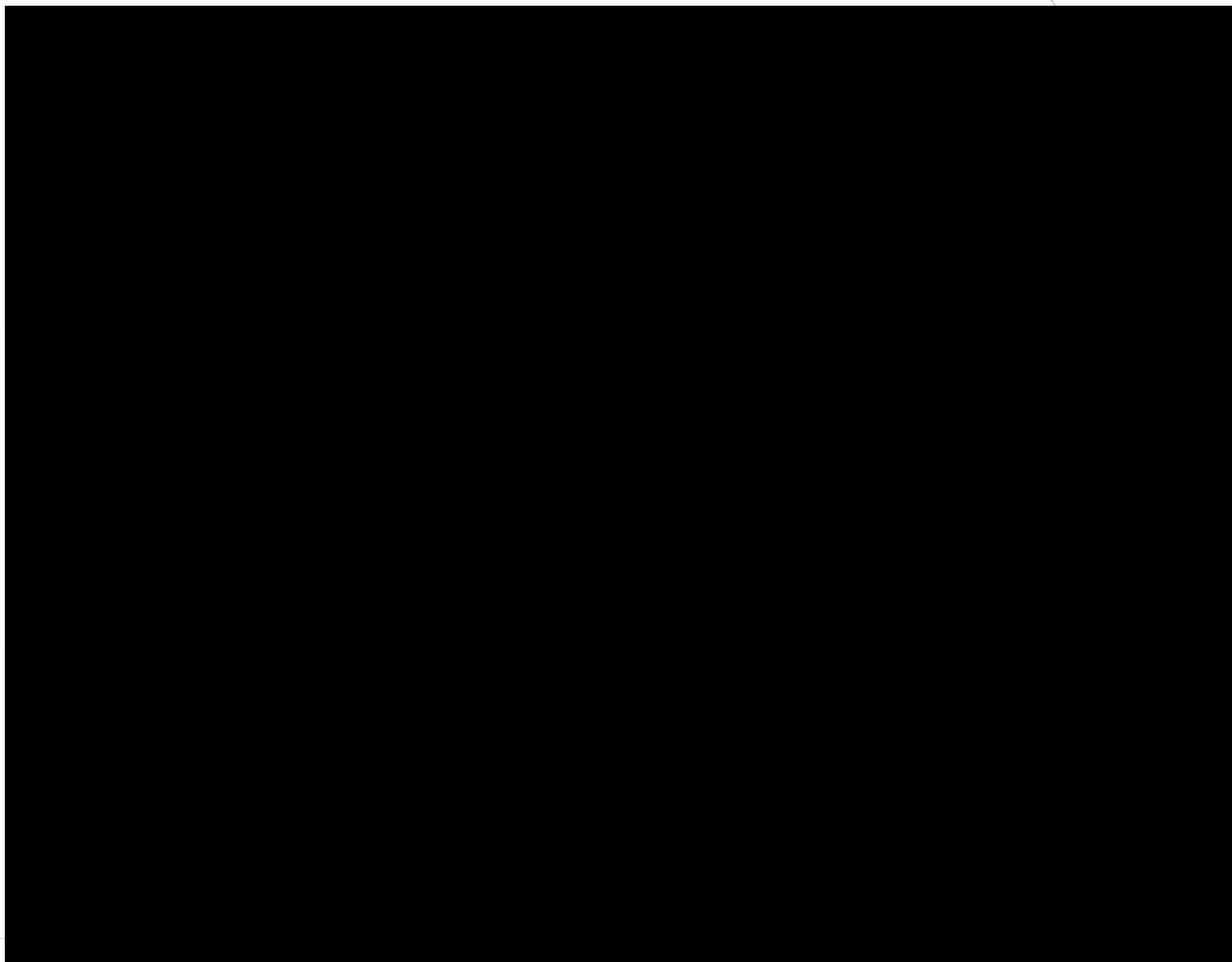
$$\mathbf{q}^{-1} := \frac{\mathbf{q}^*}{|\mathbf{q}|^2} = \frac{\mathbf{q}^*}{\mathbf{q} \cdot \mathbf{q}^*} \quad (\mathbf{q} \cdot \mathbf{q}^* \in \mathbb{R})$$

➤ Für eine Einheitsquaternion gilt daher

$$\mathbf{q}^* = \mathbf{q}^{-1}$$

Konvertierung





Konvertierung

- ◎ Umrechnung einer Einheitsquaternion in eine Rotationsmatrix

$$\begin{pmatrix} 1 - 2(y^2 + z^2) & 2(xy - zw) & 2(zx + yw) \\ 2(xy + zw) & 1 - 2(z^2 + x^2) & 2(yz - xw) \\ 2(zx - yw) & 2(yz + xw) & 1 - 2(x^2 + y^2) \end{pmatrix}$$

Konvertierung

- ◎ Umrechnung einer Drehachse \mathbf{x} und eines Winkels α in eine Einheitsquaternion

$$\mathbf{q} = \left(\cos \frac{\alpha}{2}, \sin \frac{\alpha}{2} \mathbf{x}^T \right)$$

Konvertierung

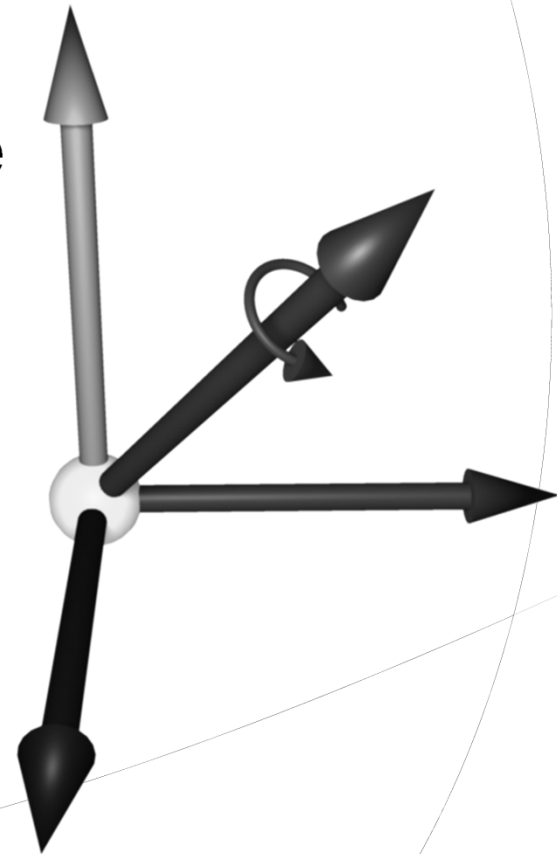


Rotationsmatrix vs. Quaternion

- ◎ Quaternionen haben weniger Redundanz
 - Differentialgleichung in Simulation „nur“ vierdimensional
 - Numerischer Fehler ist kleiner
- ◎ Rotationsmatrix muss orthonormalisiert werden, Einheitsquaternion nur normiert
- ◎ Bei Verkettungen von Rotationen sind Quaternionen günstiger, bei der Drehung von Punkten Rotationsmatrizen

Winkelgeschwindigkeit

- ⦿ Die Winkelgeschwindigkeit ist ein Vektor
- ⦿ Richtung ist die Rotationsachse
- ⦿ Betrag ist die Stärke



Translation

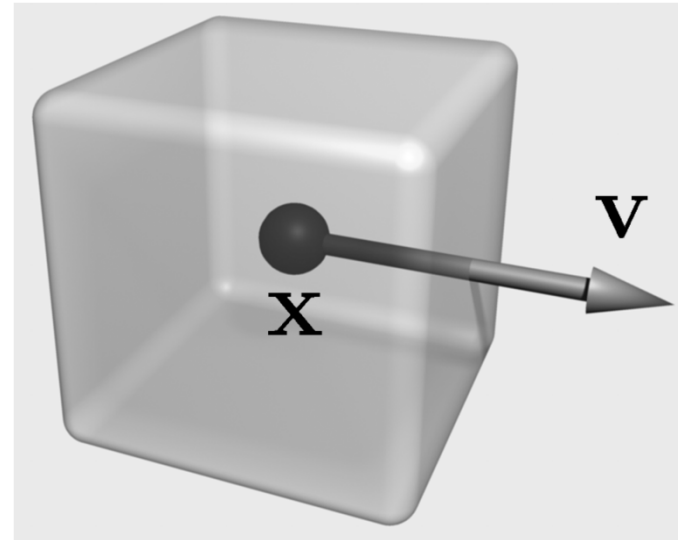
⊙ Masse m

⊙ Position

$$\dot{\mathbf{x}} = \mathbf{v}$$

⊙ Geschwindigkeit

$$\dot{\mathbf{v}} = \mathbf{F}/m$$



Rotation

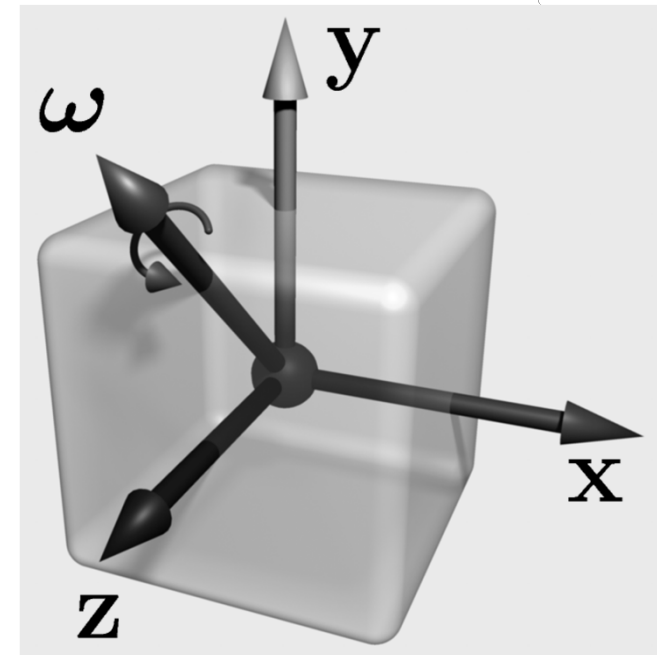
- Trägheitstensor \mathbf{J}

- Quaternion

$$\dot{\mathbf{q}} = \frac{1}{2} \tilde{\boldsymbol{\omega}} \mathbf{q},$$
$$\tilde{\boldsymbol{\omega}} = (0, \omega_x, \omega_y, \omega_z)$$

- Winkelgeschwindigkeit

$$\dot{\boldsymbol{\omega}} = \mathbf{J}^{-1}(\boldsymbol{\tau}_{\text{ext}} - (\boldsymbol{\omega} \times (\mathbf{J} \boldsymbol{\omega})))$$



Literatur

- ◎ David Baraff, „Physically Based Modeling“, Siggraph 2001 course notes, <http://www.pixar.com/companyinfo/research/pbm2001>
- ◎ Herbert Goldstein, Charles P. Poole und John L. Safko, „Klassische Mechanik“, 2006
- ◎ Ken Shoemake, „Animating rotation with quaternion curves“, Siggraph 1985